

## Superficie rigate

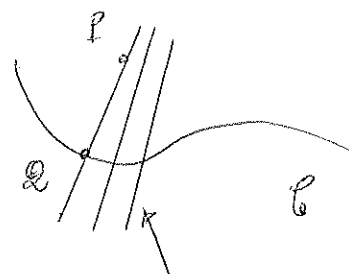
Discussione generale

In modo informale, una rigata è una superficie generata dal moto continuo di una retta nello spazio. Essa può dunque essere assegnata da di rettrice  $\mathcal{C}$ :  $s \mapsto \underline{y}(s) \in \mathbb{R}^3$  (risp.)  
 Se utilizziamo la lunghezza d'arco come parametro, con  $s$  variabile su un intervallo opportuno  $\mathcal{I}$  e una famiglia di direzioni  $s \mapsto \underline{z}(s) \in \mathbb{R}^3$ ,  $\|\underline{z}(s)\| = 1$  la superficie in questione viene allora descritta dalla:

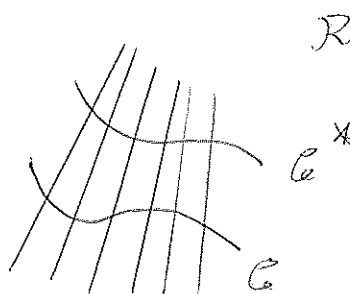
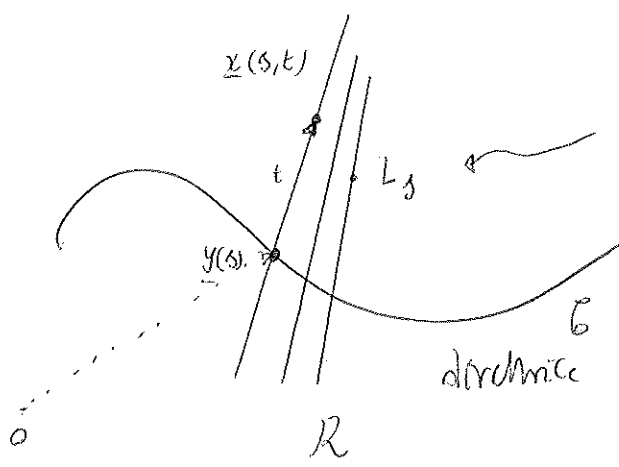
$$(\diamond) \quad \underline{x}(s, t) = \underline{y}(s) + t \underline{z}(s) \quad \begin{matrix} \text{se } y, t \in \mathbb{R} \\ \|z\| = 1 \end{matrix} \quad (\circ \mathbb{R})$$

notazione "classica"

$$\underline{x} = \underline{y} + t \underline{z} \quad \begin{matrix} \text{versore} \\ \text{generico} \end{matrix}$$



regoli (o generatrici) della rigata



Si chiede che una rigata ammette infinite direzioni: è sufficiente considerare una qualsiasi curva che intersechi transversalmente tutte le generatrici ed esattamente una volta.

Nella rappresentazione  $(\diamond)$ ,  $t$  dunque è l'ascissa curvilinea sul regolo  $L_s$ . Ciò è comodo nelle discussioni tecniche, tuttavia, in  $(\diamond)$  possono usare parametri qualunque, e  $\underline{x} (\circ \mathbb{R})$  non necessariamente ha versore.

Osserviamo subito che i regoli formiscono direzioni asintotiche della superficie ( $\underline{v} \cdot \underline{E} T_E \underline{v}$ ,  $\|\underline{v}\|=1$ ), fornisce una direzione asintotica ( $\alpha \underline{v}$ ) se

$\underline{\underline{P}}(\underline{v}) = 0 = \langle \underline{v}, \underset{\parallel}{\underline{\underline{P}}} \underline{v} \rangle$  : questo poiché  
 $-dN$

$R_m$  è nulla lungo un regolo. Da ciò

curvature normale segue subito che  $K \leq 0$  ( $\underline{\underline{P}}$  è indefinita semidefinita)

ad esempio, se  $R_1 < 0 < R_2$  si hanno gli asintoti dell'iperbolice di Dupin



curvature gaussiana

$\underline{R}$  è detto sviluppabile se il piano tangente non varia lungo le generatrici. Per una tale regola,  $K=0$ , poiché allora  $N$  non varia lungo una generatrice, e l'immagine dell'applicazione di Gauss è una curva.

Diamo una caratterizzazione analitica della sviluppabilità.

$$\underline{P}(s,t) = \underline{P} = \underline{Q} + t \underline{\underline{R}}$$

$$\underline{P}_s = \underline{Q}_s + t \underline{R}_s$$

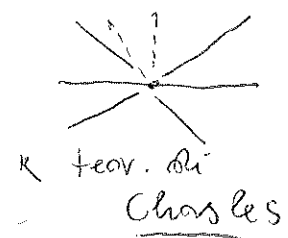
$$\frac{\partial \underline{P}}{\partial s}$$

$\underline{P}_t = \underline{R}$  . Piano tangente a  $\underline{P}$ :

$$\langle \underline{U} - \underline{P}, (\underline{Q}_s + t \underline{R}_s) \times \underline{R} \rangle = 0$$

per generiche  
del piano tangente

$$\underline{Q}_s \times \underline{R} + t \underline{R}_s \times \underline{R}$$



il piano tangente risulta indipendente da  $t$ ,  
può essere fissato se e solo se i vettori  
 $Q_S$ ,  $R_S$  e  $R$  sono

linearmente dipendenti: infatti

se  $t=0$ , il piano tangente è generato da

$Q_S$  e  $R$  (che non dipendono da  $t$ ).

(se. l.m.d.)

Il piano tangente è univocabile lungo il regolo.

Se e solo se  $R_S = c_0 \cdot t$ . Ma  $Q_S$  è  $R$ .

In definitiva deve aversi, per la srappresentabilità,

$$\begin{vmatrix} 1 & 1 & 1 \\ Q_S & R_S & R \\ 1 & 1 & 1 \end{vmatrix} = 0$$

det

$$(y' \times z', z) = 0$$

\* Charles:

la generatrice  
e il fascio di  
piani tangenti  
per i quali  $R$

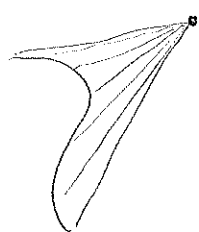
$$\text{ovvero } \begin{vmatrix} 1 & 1 & 1 \\ y' & z' & z \\ 1 & 1 & 1 \end{vmatrix} = 0$$

$$1 = \frac{d}{ds}$$

Se  $R_S \equiv 0 \Rightarrow R = R(S) = R_0$  costante,  
e la rigata (srappresentabile) è detta cilindrica  
(o cilindro geratitato)

Se le generatrici passano per  
uno stesso punto si ha un cono  
geratitato

$$\text{Se } z = t = y' \text{ si ha}$$



una superficie tangente (al)  $\gamma$   
(ovviamente srappresentabile), e

le cui dirette le spigole di regresso



per altre  
una sup.

regolare  $\Rightarrow$

$$\underline{x}_3 = \underline{y}' + t \underline{y}''$$

$$2t = \underline{y}'$$

l. und  $\Leftrightarrow t \neq 0$

$$\underline{y}'' \neq 0$$

$(\Rightarrow k \neq 0)$

parametriz.

\* cosa accade  
 $t=0$ ?

utilizzando il teorema di Freudenthal la relativa  
rappresentazione canonica di  $\underline{c}$ :  $\underline{y} = \underline{y}(s)$ , in  $P_0$  ( $s=0$ )

$$\begin{cases} y_1 = s - \frac{k_0^2}{6} s^3 + \dots \\ y_2 = \frac{12k_0}{2} s^2 + \frac{12k_0'}{6} s^3 + \dots \\ y_3 = -\frac{12k_0 T_0}{6} s^3 + \dots \end{cases}$$

Sicché, per  $\underline{x} = \underline{x}(s, t) = \underline{y}(s) +$   
il  $t \underline{t}(s)$

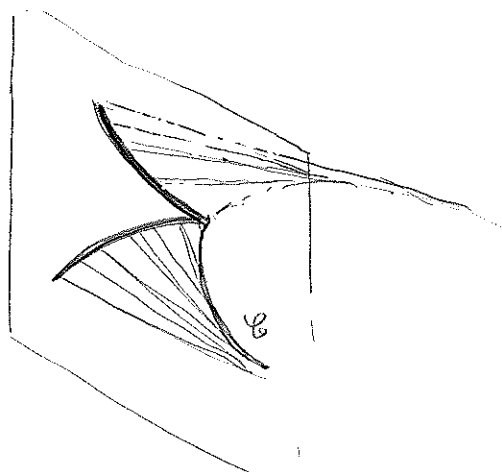
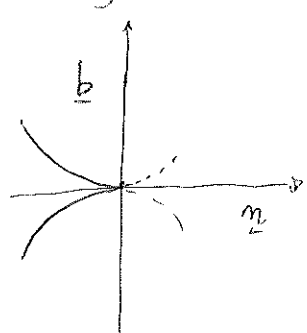
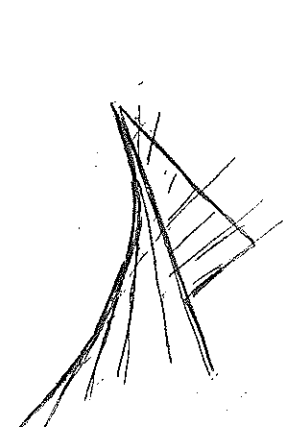
$$\begin{cases} x_1 = s - \frac{12k_0}{6} s^3 + t \left( 1 - \frac{k_0^2}{2} s^2 + \dots \right) \\ x_2 = -\frac{k_0 s^2}{2} + \frac{12k_0'}{6} s^3 + \dots + t (12k_0 s + \frac{12k_0' s^2}{2} + \dots) \\ x_3 = -\frac{12k_0 T_0}{6} s^3 + \dots + t \left( -\frac{k_0 T_0}{2} s^2 + \dots \right) \end{cases}$$

Il primo monomiale ha eq.  $x_1 = 0$

$\Rightarrow t = \dots = -s - \frac{k_0^2}{3} s^3$  e, sostituendo nelle

altre due espressioni si ha, per la curva infrazione

$$\begin{cases} x_2 = -\frac{12k_0}{2} s^2 \\ x_3 = +\frac{k_0 T_0}{3} s^3 \end{cases} \rightarrow \text{Singularità cuspidale}$$



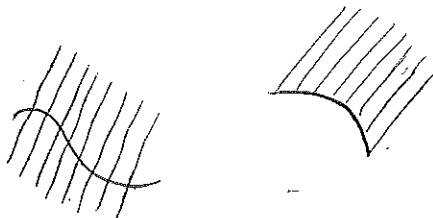
~~At~~ classifichiamo le rigate sulla piani :

partiamo dalla relazione, valida in un opportuno intervallo

$$c(s) \underline{y}(s) + d(s) \underline{z}(s) + e(s) \underline{z}'(s) = 0$$

1) Se  $c(s) = 0$ , e  $d \underline{z} + e \underline{z}' = 0$  (in ogni punto almeno una delle f. d, e, è ≠ 0)  
 da  $\|\underline{z}\|=1$ , si ha  $\langle \underline{z}, \underline{z}' \rangle = 0 \Rightarrow d = 0$   
 $\Rightarrow \underline{z}' = 0 \Rightarrow \underline{z} = \underline{z}_0$  (cost.)

In tale situazione, si ha una porzione di piano o di  
un cilindro



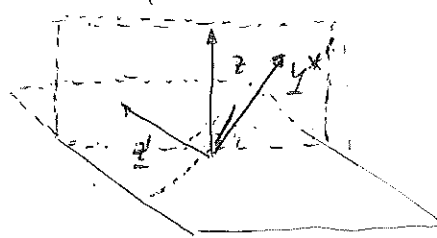
2) Se  $c(s) \neq 0$  & s in un intervallo,

$$\underline{y}' = \alpha \underline{z} + \beta \underline{z}' \quad (\alpha = -\frac{d}{c}, \beta = -\frac{e}{c})$$

poniamo  $\underline{y} = \underline{y}^* + \beta \underline{z}$  ( $\underline{y}^* = \underline{y} - \beta \underline{z}$ )

dovremo rispetto ad s : [nota:  $\langle \underline{y} - \underline{y}^*, \underline{z}' \rangle = \beta \langle \underline{z}, \underline{z}' \rangle = 0$ ]

$$(\underline{y}^*)' = \underline{y}' - \beta \underline{z}' - \beta' \underline{z} = \underbrace{(\alpha - \beta') \underline{z}}_A = \underbrace{\alpha \underline{z} + \beta \underline{z}'}_A \Rightarrow \langle (\underline{y}^*)', \underline{z}' \rangle = 0$$

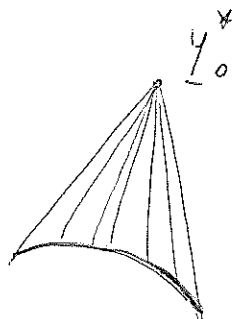


$$\underline{y}^* = \underline{y}(s)$$

\* linea di stringimento di R  
 punti di tale linea:  
punti centrali di R

$$2'. \quad A = 0 \quad \underline{y}^{*'} = 0 \quad \Rightarrow \underline{y}^* = \underline{y}_0^* \quad \begin{array}{l} \text{linea di stringimento} \\ \text{nata da un punto} \end{array}$$

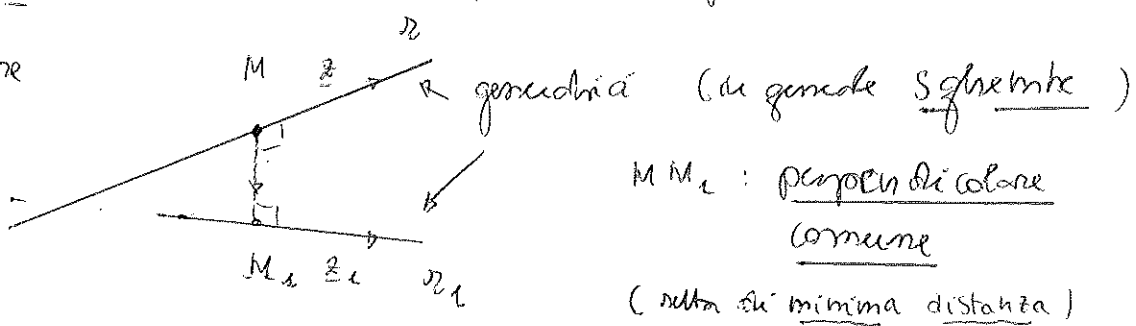
$$\Rightarrow \underline{x} = \underline{y}_0^* + (t+\beta) \underline{z} \quad \Rightarrow \text{cono o piano}$$



$$2''. \quad \text{Se } A \neq 0, \quad \text{e} \quad \underline{z} = \frac{\underline{y}^{*'}}{A} \quad \Rightarrow$$

$$\underline{x} = \underline{y} + t \underline{z} = \underline{y}^* + \underbrace{t \underline{y}^{*'}}_{\frac{t+\beta}{A}} \quad \Rightarrow \text{superficie tangente}$$

\* da linee di stringimento è definita in generale dalla condizione  
 $\langle \underline{y}^{*'}, \underline{z}' \rangle = 0$ . Interpretiamo geometricamente tale  
condizione



Se ora si prendono due generatrici infinitamente prossime

$M$  tenderà ad una posizione limite (punto centrale della generatrice)

da  $MM_e \perp \underline{z} \perp \underline{z}_e$  \* il luogo di tali punti è la linea  
di stringimento,  $\underline{y}^* = y^*(t)$

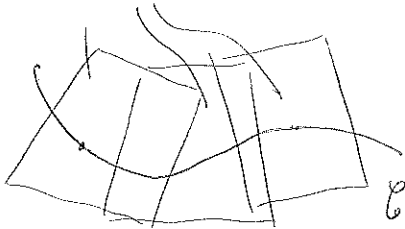
Si trova  $\frac{MM_e}{At} \perp \frac{\underline{z}-\underline{z}_e}{At}$  e, al limite (per  $At \rightarrow 0$ , t pur qualsiasi)

$$\langle \underline{y}^{*'}, \underline{z}' \rangle = 0$$

da quanto visto segue che, in cond.  
la linea di stringimento è geometrica  
ma geostatica.

L'inviluppo dei piani tangenti ad una curva (non anastatica) su una superficie regolare è una rigata sviluppabile. Esempi: proiezioni cartografiche...]

piani tangenti



$\Sigma$

$$r = r(s, v) = \underline{d}(s) + v \frac{\underline{N}(s) \times \underline{N}'(s)}{\|\underline{N}'(s)\|} \quad (\diamond)$$

$\|\underline{N}'(s)\|$

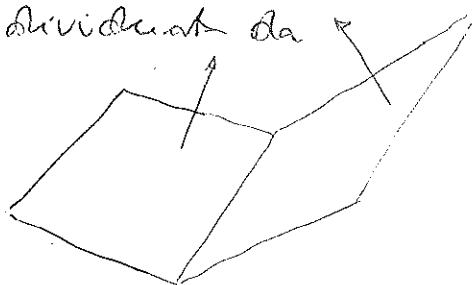
$\star_0$

significato geometrico:

I piani tangenti  $T_{\underline{d}(s)}\Sigma$  e  $T_{\underline{d}(s+\Delta s)}\Sigma$  si intersecano

lungo una retta la cui direzione è individuata da

$$(*) \quad \frac{\underline{N}(s) \times \underline{N}(s + \Delta s)}{\Delta s}$$



che, al limite per  $\Delta s \rightarrow 0$ ,

$$\text{derivate di } (*) = \underline{N}(s) \times \left[ \frac{\underline{N}(s + \Delta s) - \underline{N}(s)}{\Delta s} \right],$$

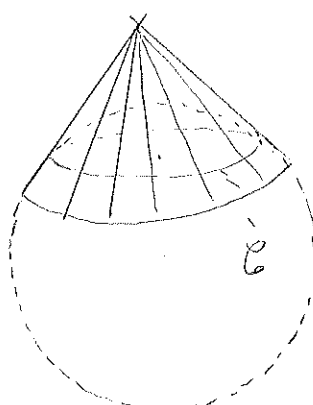
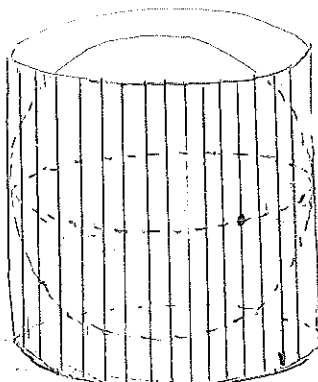
conduce subito a  $(\diamond)$ .

Per costruzione

la superficie

è sviluppabile

poiché il piano tangente non varia lungo i regoli.



nuotare

$$\frac{(\underline{u} \times \underline{v}) \times \underline{w}}{(\underline{u} \times \underline{v}) \times \underline{w}} =$$

$$\langle \underline{u}, \underline{w} \rangle \underline{v} -$$

$$\langle \underline{v}, \underline{w} \rangle \underline{u}$$

richiamo)

$$\underline{r}_u \times \underline{r}_v = \underline{d}' \times \left( \frac{\underline{N} \times \underline{N}'}{\|\underline{N}'\|} \right) = \frac{\langle \underline{N}', \underline{d}' \rangle}{\|\underline{N}'\|} = - \frac{\langle \underline{N}, \underline{d}'' \rangle}{\|\underline{N}'\|} N$$

+ pezzi di  $\underline{v}$

$$= - \frac{\underline{R}_u \underline{N}}{\|\underline{N}'\|}$$

$\neq 0$  se  $\underline{B}$  (e dunque in un intorno opportuno),  
(regolarità)

Teorema Sia  $\mathcal{S}$  una superficie (parametrica) piatta ( $K=0$ ) priva di punti plani.

(e. in cui  $R_1 = R_2 = 0$ ), Allora  $\mathcal{S}$  è una superficie rigata (sviluppabile) (i.e. il piano tangente è

costante lungo i regoli: necessariamente  $K=0$ , poiché l'immagine della sua mappa di Gauss è una curva

(a sua volta, una tale superficie è localmente un cono, un cilindro, o una superficie tangente a volte).



Dico. Poniamo  $R_1 = 0$ ,  $R_2 \neq 0$ .

Parametrizziamo tramite le curve di curvatura. Perché  $F=f=0$

dai  $\mathcal{S}(\mathbf{r}_u) = -N_u = 0$  segue

che  $N$  è costante lungo le curve  $\mathbf{r}_u$ .

(in particolare, ma ciò è ovvio a priori, l'immagine dell'applicazione di Gauss è di fatto una curva).

Dimostriamo che queste curve sono rette.

E' dunque  $e = \mathcal{I}(\mathbf{r}_u) = 0$

$\mathcal{S} \neq 0$  (perché  $R_2 \neq 0$ )

Scrivendo la prima equazione di C-M si ha

$$0 = e_v - f_u = \underbrace{e}_{0} \mathcal{R}_{12}^1 + \underbrace{f}_{0} (\mathcal{R}_{12}^2 - \mathcal{R}_{22}^2) - \underbrace{g}_{0} \mathcal{R}_{11}^2 = -g \mathcal{R}_{11}^2$$

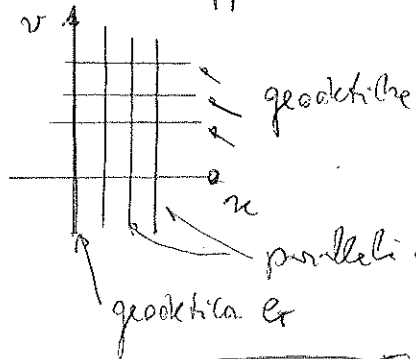
$$\Rightarrow \mathcal{R}_{11}^2 = 0 \Rightarrow \mathbf{r}_{uu} = \mathcal{R}_{11}^1 \mathbf{r}_u + \dots$$

$\Rightarrow \mathbf{r}_{uu} \parallel \mathbf{r}_u \Rightarrow$  le curve " $u$ " sono rette

Teorema Una (porzione) di superficie (lesso)  $\Sigma$  è isometrica ad una porzione di piano se e solo se è sviluppabile.

Dim. ( $\Rightarrow$ ) Se  $\Sigma$  è isometrica ad una porzione di piano, deve aversi, in virtù del Teorema Egregium,  $K=0$ . Ma ciò implica che  $\Sigma$  è sviluppabile, (modificando opportunamente il ragionamento del teorema precedente).

( $\Leftarrow$ ) Se  $\Sigma$  è sviluppabile, introduciamo coordinate geodetiche:



$$\Rightarrow ds^2 = dx^2 + g_{22} dv^2$$

$$\text{e } g_{22}(0, v) = \ell \quad (*)$$

\* Variante:  $\Sigma$  è sviluppabile  
 $\Leftrightarrow K=0 \Leftrightarrow \Sigma$  è loc. isometrica ad un piano

$$\text{ma } x \text{ e } v = \text{l. d'arco su S.p.}$$

Ma, poiché  $\ell$  è una geodetica

$$0 = (R_g)_{v=0} = \frac{1}{\sqrt{g_{11}}} \frac{\partial}{\partial v} (\log \sqrt{g_{22}}) = ?$$

? curvatura geodetica ??

$$(**) \quad \left. \frac{\partial g_{22}}{\partial v} \right|_{v=0} = 0$$

Ma, dato che  $K=0$ ,

$$\text{e } 0 = K = - \frac{1}{\sqrt{g_{22}}} \frac{\partial^2 \sqrt{g_{22}}}{\partial v^2}$$

$$\Rightarrow \frac{\partial^2 \sqrt{g_{22}}}{\partial v^2} = 0$$

$$\Rightarrow \sqrt{g_{22}} = c_1(v) v + c_2(v) ; \quad \text{da } (*) \text{ e } c_2 = \ell$$

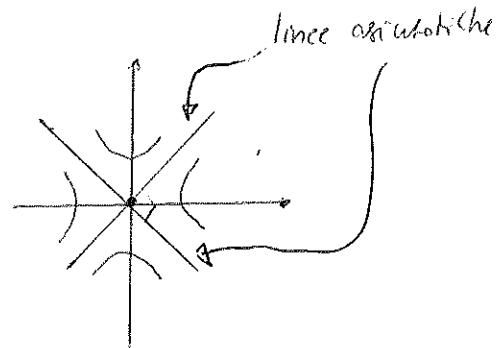
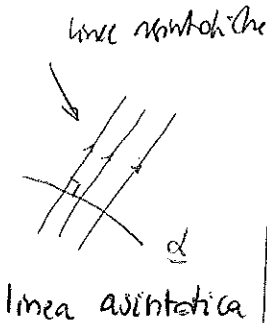
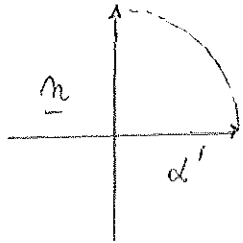
$$\text{e da } (**) \text{ e } c_1 = 0 \Rightarrow [ds^2 = dx^2 + dv^2] \text{ e}$$

si conclude.

4 L'una superficie regolare minima è l'eliside:

(t) non piana

$$\underline{x}(s, t) = \underline{\alpha}(s) + t \underline{n}(s)$$



$R_n = 0$  su una linea asintotica

$$\Rightarrow \underline{b} = \underline{N}$$

(piano osculatore =

piano tangente

su  $\underline{\alpha} = \underline{\alpha}(s)$ )

vogliamo far vedere

che  $\underline{\alpha} = \underline{\alpha}(s)$  è  
un'elica cilindrica

per una sup. minima

$$R_c + R_s = 0$$

$\Rightarrow$  ind. di Dupin

iperbolico egualatore

o linee asintotiche  
ortogonalì

\* regoli individuati dalle normali principali

$$\underline{x}_s = \overset{\circ}{\underline{\alpha}}' + t \underline{n}'$$

$$\underline{x}_{ss} = \overset{\circ}{\underline{\alpha}}'' + t \underline{n}''$$

$$\underline{x}_{st} = \underline{n}'$$

$$\underline{x}_{tt} = \underline{n}' = \underline{x}_{ts}$$

$$\underline{x}_{tt} = 0$$

b

II

$$\text{se } R(\underline{\alpha}) \neq 0, \text{ e}$$

$$e = \langle \underline{x}_{ss}, \underline{N} \rangle = 0$$

chromatma

di  $\underline{\alpha}$

( $\underline{n}$  è definito...)

$$g = \langle \underline{x}_{tt}, \underline{N} \rangle = 0$$

$$f = \langle \underline{n}', \underline{b} \rangle = -\frac{b}{c} \quad (\text{Frenet})$$



$$e = 0 \text{ (implica, vt} \langle R \underline{n} + t \underline{n}'', \underline{b} \rangle = 0 \Rightarrow$$

$$\langle \underline{n}'', \underline{b} \rangle = 0$$

$$\text{ma } 0 = \langle \underline{n}'', \underline{b} \rangle = \langle \underline{n}', \underline{b}' \rangle' - \langle \underline{n}', \underline{b}' \rangle$$

$$= \langle -R \underline{t} - \underline{a} \underline{b}, \underline{b}' \rangle' - \underbrace{\langle \underline{n}', \underline{a} \underline{n} \rangle}_{0} = -\underline{t}'$$

$$\Rightarrow \boxed{\underline{x} = \underline{C}(\underline{\alpha}) = \underline{cost}}$$

Incaso : caso particolare del teorema di Beltrami - Enneper

$$\text{Indiretta} \quad \langle \underline{x}_3, \underline{x}_5 \rangle = E = 1 + t^2 \| \underline{z}' \|^2 \\ = 1 + t^2 (k^2 + \tau^2) = 2kt$$

$$x_5 = t + t \underline{n}' \\ = t + t(-kt - \tau b) \\ = (1-kt)t - \tau t b$$

$$= (t=0) = 1$$

$$\text{quindi}$$

$$(1-kt)^2 + \tau^2 t^2 \\ = 1 - 2kt + k^2 t^2 + \tau^2 t^2$$

$$\langle \underline{x}_6, \underline{x}_6 \rangle = G = 1 \quad F = \langle \underline{x}_3, \underline{x}_6 \rangle = 0$$

vale in generale  
per una curva  
asintotica

Si ha perciò , su  $\underline{\alpha} = \underline{\alpha}(s)$

$$K = \frac{eg - f^2}{Eg - F^2} = -\tau^2$$

$\left. \begin{array}{l} \text{Beltrami - Enneper} \\ \text{moltitudine } \underline{\alpha} \\ \text{Dupliche costante} \end{array} \right\}$

$\left. \begin{array}{l} \text{curvatura principale} \\ \text{costante} \end{array} \right\}$

$$= -k_1^2 = -k_2^2.$$

Si osservi che  $K(\underline{\alpha}) = K_g(\underline{\alpha})$  (con. geodetica)

Variante:

$$\text{oppure , scriviamo } K = -\frac{1}{2\sqrt{Eg}} \left( \left( \frac{Ev}{\sqrt{Eg}} \right)_V + \left( \frac{Ew}{\sqrt{Eg}} \right)_W \right)$$

$$\text{qui } u=s, v=t \quad E = 1 - 2kt + (k^2 + \tau^2)t^2 \quad G = 1, \quad F = 0$$

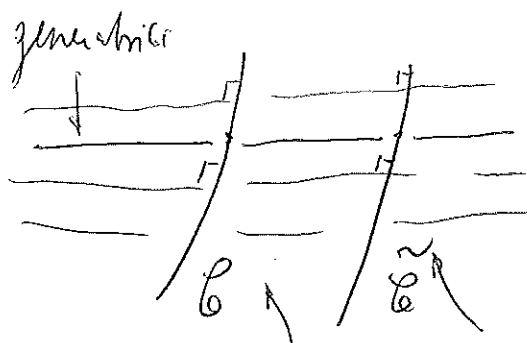
$$K = -\frac{1}{2\sqrt{E}} \left( \frac{Ev}{\sqrt{E}} \right)_t = -\frac{1}{2\sqrt{E}} (+2\sqrt{E})_{tt} = -\frac{1}{\sqrt{E}} (\sqrt{E})_{tt}$$

$$\text{in } t=0 \text{ e } K = -(\sqrt{E})_{tt} \Big|_{t=0} = 0 \quad \text{(curvatura a tronco di cono)}$$

$$K = -\tau^2 \quad (\text{su } \underline{\alpha})$$

Proseguiamo:

Vogliamo mostrare che  $\underline{d} = \underline{d}(s)$  ha curvatura costante, e ciò basterà per concludere



Curva "compagna" nel senso di Bertrand

Osserviamo ora che  $\underline{d}' = \underline{d} + \xi(s) \underline{n}(s)$

(ossia)

$\underline{d}'$ , pme ortotonica,  
avrà curvatura la stessa  
normale principale di  $\underline{d}$ .

(curvatura tali) (che  
(Problema di Bertrand))

$\underline{d}'$  avrà la stessa normale principale: solo  
 $\xi = \xi(s) = \text{cost}$ , in virtù di

$$\begin{matrix} \underline{d}' &= \underline{d}' + \xi' \underline{n} + \xi \underline{n}' &= \underline{d}' + \xi' \underline{n} + \xi (-\underline{x}_t - \underline{c}_b) \\ \perp & & \perp \\ \underline{n} & & \underline{t} \quad \Downarrow \xi' = 0 \end{matrix}$$

(curva "compagna" di Bertrand)

(Anche  $\underline{d}'$  sarà  
una direttrice della  
rigata)

Moltre

$$\frac{d\underline{d}'}{ds} = \frac{ds}{d\underline{s}} \left[ 1 - \xi'' \right] \underline{t} - \xi \times \frac{ds}{d\underline{s}} \underline{b}$$

↑  
1. derivo su  $\underline{s}$

derivando } rispetto a  $\underline{s}$ , notiamo che  $\frac{dt}{ds}$  e  $\frac{db}{ds}$   
sono  $\parallel \underline{n}$

è pertanto, affinché  $\frac{d^2 \alpha}{ds^2}$  sia  $\parallel \underline{n}$ ,

dove esse (dove  $\alpha \equiv \beta = \text{cost}$ )

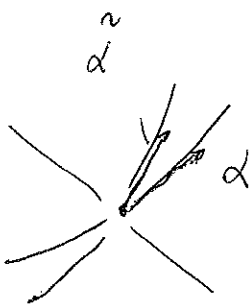
$$(1 - \xi R) \frac{ds}{d\tilde{\gamma}} = \text{cost.}$$

$$(-\xi \tau) \frac{ds}{d\tilde{\gamma}} = \text{cost.}$$

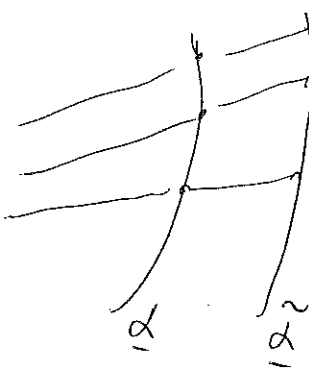
$$\Rightarrow \frac{1 - \xi R}{-\xi \tau} = \text{cost.} \quad (\text{teor. di Beltrami})$$

 Ma  $\tau \neq \xi$  sono costanti (risp a  $S$ )  $\Rightarrow$

anche  $R$  lo è, e così  $\frac{ds}{d\tilde{\gamma}}$



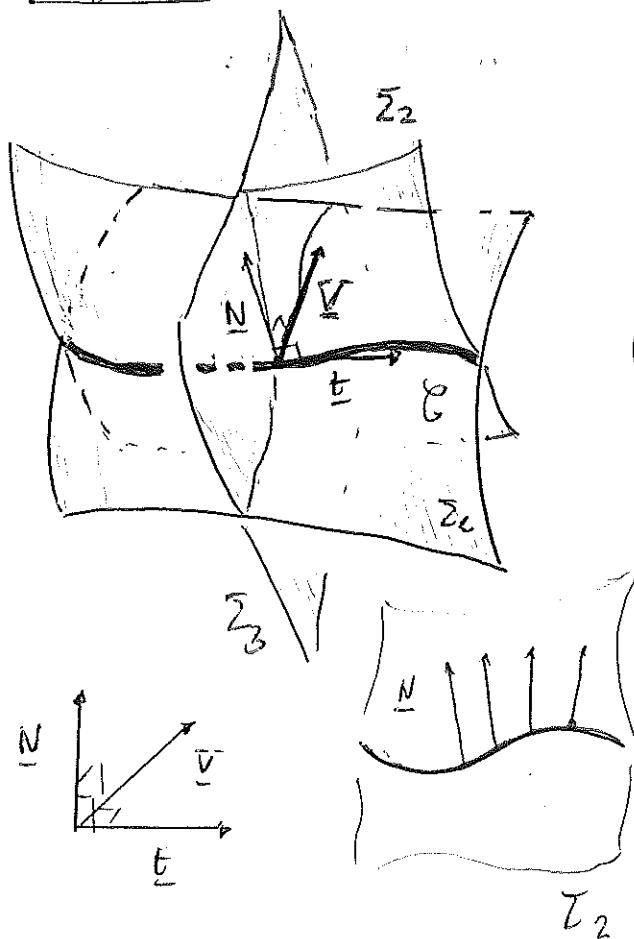
Il primo tangente varia lungo una generatrice



In definitiva si ottiene una parziale di epicidio.  
(non è una superficie sviluppabile)

## \* Teorema (Dupin)

Due superficie appartenenti ad un sistema triplemente ortogonale si incontrano lungo linee di curvatura



Dim. Con riferimento alla figura, consideriamo la variazione di  $\underline{N}$  lungo  $\mathcal{C}$  ( $\underline{N}$  v. normale di  $\Sigma_2$ ). Esso rimane tangente a  $\Sigma_2$ ,

sicché

$$\langle \underline{N}', \underline{V} \rangle = 0 \text{ lungo } \mathcal{C}$$

( $\underline{V}$  v. normale di  $\Sigma_2$ )

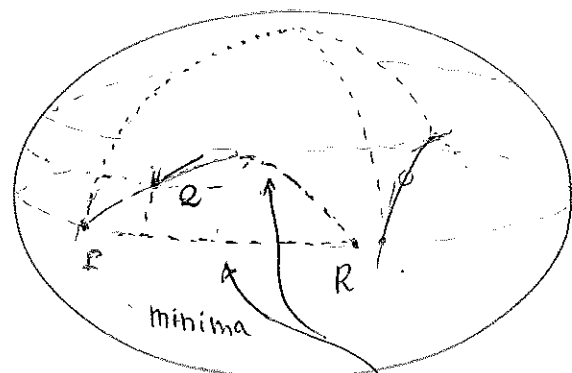
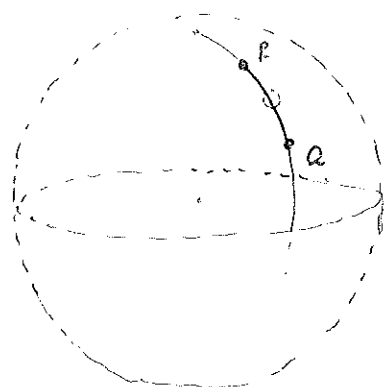
Ma allora, da  $\langle \underline{N}', \underline{V} \rangle = 0$  e da  $\langle \underline{N}', \underline{N} \rangle = 0$

s'ha subito  $\underline{N}' \parallel \underline{t}$ , e conclude diamo

le words del teorema di Rodrigues. □

## Teorema di Hopf-Rinow

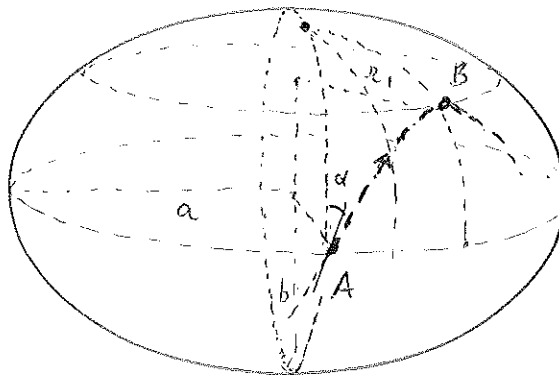
Su una superficie completa (i.e. ogni geodetica si estende infinitamente eventualmente percorrendo uno stesso sostegno), dati due pti  $P$  e  $Q$ , svi sono sempre congruenti da una geodetica di lunghezza minima



[Se rimuovo un pto il teorema diviene falso...]

geodetiche

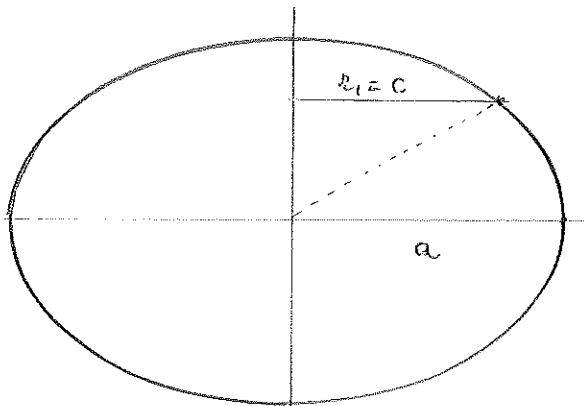
\* Geodetiche sull'ellissoide di rotazione  
 (considerazioni qualitative)



\* Circonferenze:  $r_c \sin \alpha = c$  per una geodetica  
 $\uparrow$   
 Raggio del parallelo

$$\text{Sia } r_c = a \quad a \sin \alpha = c \quad |c| \leq a$$

$$\text{In } B: \sin \alpha = \sin \frac{\pi}{2} = +1$$



$$c = r_1$$

In geodetica discende da A,

di longitudine  $\alpha$ ,

Diviene tangente in B

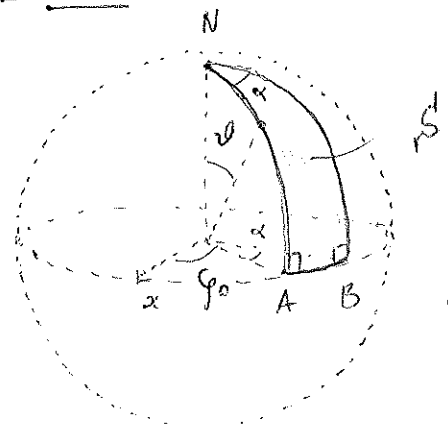
Così parallelo "nord" di  
 raggio  $r_1 = a \sin \alpha$ .

XII-33

Nelle applicazioni A e B sono fissi. L'azimut varia però per poi in accordo con la relazione di Clairaut.  
 Una volta lesso dromica (angolo costante) non è geodetica.

$\tan \alpha = \frac{r_1}{a}$  da la direzione della geodetica di lunghezza  
 minima congruente A e B. (cf. Hopf-Rinow)

\* Esercizi valut.



\* Calcolare in più modi

l'area del semisfero  $S \subset S^2$

di ampiezza  $\alpha$

Sol. (1) Diretta.  $A(S) = \iint_S \sqrt{E_F - F^2} d\omega d\varphi$  (coor. sferiche)

dominio nello spazio che parametri corrispondono a  $S$

$$F = 0 \quad \sqrt{E_F} = \sin \varphi$$

$$A(S) = \int_{q_0}^{q_0 + \alpha} \left( \int_0^{\pi/2} \sin \varphi d\varphi \right) d\varphi = \alpha \cdot (-\cos \varphi) \Big|_0^{\pi/2} = \alpha$$

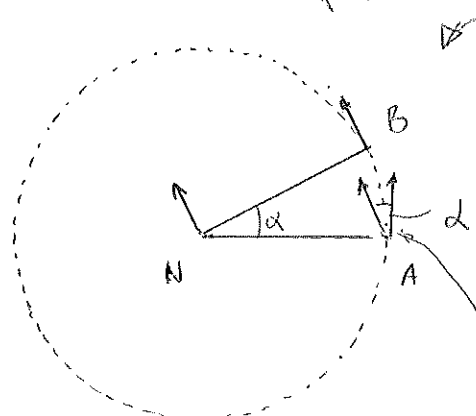
In particolare, se  $S$  è una semisfera,  $A(S) = 2\pi$ .

(2) Il triangolo sferico  $ABN$  è geodetico.

dalla formula di Gauss  $\alpha + \beta + \gamma - \pi = \iint K d\omega$   
(e dal fatto che  $K_{S^2} = +1$ )

$$\text{Si trae } \alpha + \frac{\pi}{2} + \frac{\pi}{2} - \pi = A(S) \Rightarrow A(S) = \alpha$$

(3) Proiezione stereografica dal polo sud



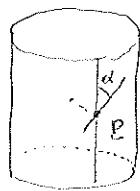
( $\hat{\omega}$ )  
conforme  $\Rightarrow$   
conserva  
gli  
angoli)

trasporto parallelo  
lungo i lati di  $ABC$

Dal teorema di  
Lhi-Licitra ( $\epsilon$  da  
 $K_{S^2} = +1$ ) è ancora

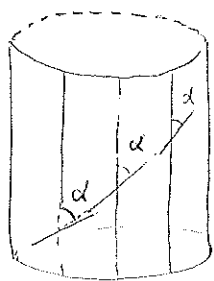
$$A(S) = \alpha$$

\* geodetiche sul cilindro circolare retto

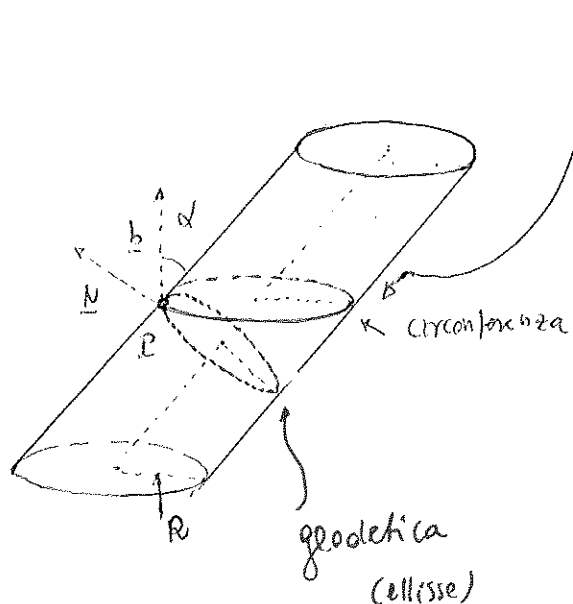


Ci si conclude immediatamente che i meridiani (e ciò è vero sempre nelle tip. di rotazione) e i paralleli sono geodetiche.

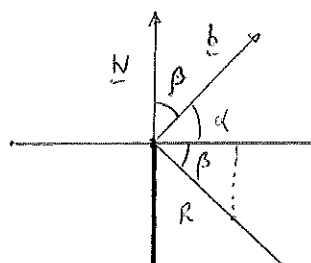
E' una geodetica uscente da un punto genetico  $P$  sulla superficie che forma col meridiano passante per quel punto un angolo  $\alpha$  (v. figura), in virtù del teorema di Circonferenza, essa interseca tutti i meridiani formando con questi lo stesso angolo  $\alpha$ .  
Da ciò si conclude che deve essere una elica.



Cilindro circolare obliquo



non è una geodetica



$$R_g(P) = \frac{1}{R} \cos \beta = \frac{1}{R} \sin \alpha$$

**D**imostrare che una rimozione qualsiasi della sfera possiede un numero puro di triangoli.

Sol.  $V - E + F = 2$  (Euler-Poincaré).

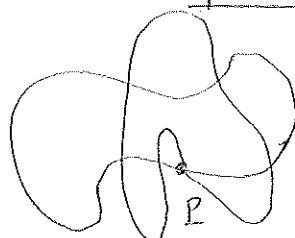
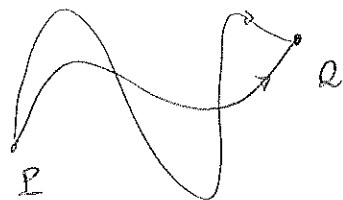
$$n_0 - n_1 + n_2 = 2 \quad n_1 = \frac{3n_2}{2}$$

$$n_0 - \frac{3n_2}{2} + n_2 = 2$$

$$n_0 - \frac{n_2}{2} = 2 \Rightarrow n_2 = 2(n_0 - 2)$$

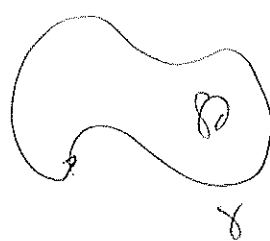
**D**imostrare che se su  $\Sigma$  il trasporto parallelo tra due punti qualunque non dipende dalla curva che li congiunge, allora  $K_\Sigma \equiv 0$ .

Sol. (sketch of dim)



\* la proprietà enunciata equivale alla seguente:  
il trasporto parallelo lungo un circuito chiuso è borale (è l'identità).

Per il teorema di linea - curva si avrebbe  $\iint_D K \, d\Omega = 0$



$\forall \gamma$  ( $\epsilon$  lunga  $\wedge \delta$ ,  $\partial D = \gamma$ ).  
Se  $K(\gamma) \neq 0$ , si avrebbe, per continuità  $K(D) \neq 0$  in un intorno di  $\gamma$ , ed

risulterebbe  $D$  tale che  $\iint_D K \, d\Omega \neq 0$ , il che è assurdo. XII-36

\* Trova una curva (risalita) tale che  $R \equiv 0$  ma  $\tau \neq 0$ ?

Sol.  $R \equiv 0 \Rightarrow r'' \equiv 0 \quad (l = \frac{d}{ds})$

$\Rightarrow r = r_0 + \int t_0 \quad , \quad r_0, t_0 \text{ costanti} \quad \|t_0\| = \tau$ ,

i.e. è una retta. Ovviamente  $\tau \equiv 0$ .

Non c'è contraddizione con il teorema fondamentale

poiché in esso si richiede  $R > 0$  (curve biregolari)

\* Teorema sia  $f: U \rightarrow \mathbb{R}^3$  differenziabile  
e  $a \in f(U)$  un valore regolare di  $f$   
[ vale a dire, se  $x_0$  è tale che  $f(x_0) = a$ ,  
e  $df|_{x_0}$  invertibile (i.e. rango max = 2) ]

Allora  $f^{-1}(a)$  è una superficie regolare in  $\mathbb{R}^3$

"La superficie di livello di un valore regolare è regolare"

Dimo. Sia  $p = (x_0, y_0, z_0) \in f^{-1}(a)$ .

Per fissare le idee, supponiamo che  $f_z(p) \neq 0$

Sia  $F(x, y, z) = (x, y, f(x, y, z))$

$$dF_p = \begin{pmatrix} 1 & 0 & 0 \\ 0 & 1 & 0 \\ f_x & f_y & f_z \end{pmatrix} \quad \det(dF_p) = f_z \neq 0$$

Per il teorema della funzione inversa

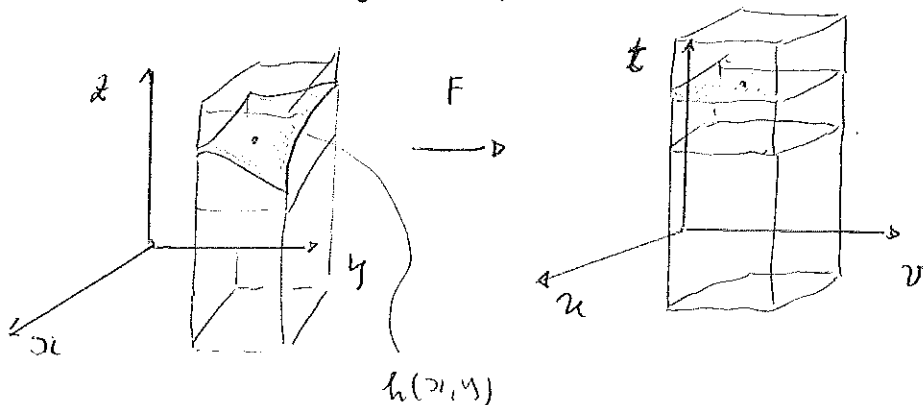
Esistono  $V \ni p$  e  $W \ni F(p)$  tali che

$F: V \rightarrow W$  è invertibile e

$F^{-1}: W \rightarrow V$  è differenziabile

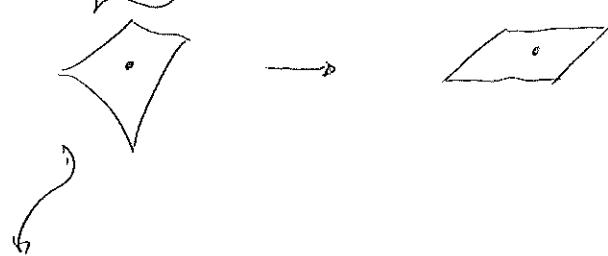
i.e

$$\begin{cases} x = u \\ y = v \\ z = g(u, v, t) \end{cases} \quad (u, v, t) \in W$$



$$\begin{aligned} z &= g(u, v, a) \\ &\equiv h(x, y) \end{aligned}$$

$$F(f^{-1}(a) \cap V) = W \cap \{(u, v, t) / t = a\}$$

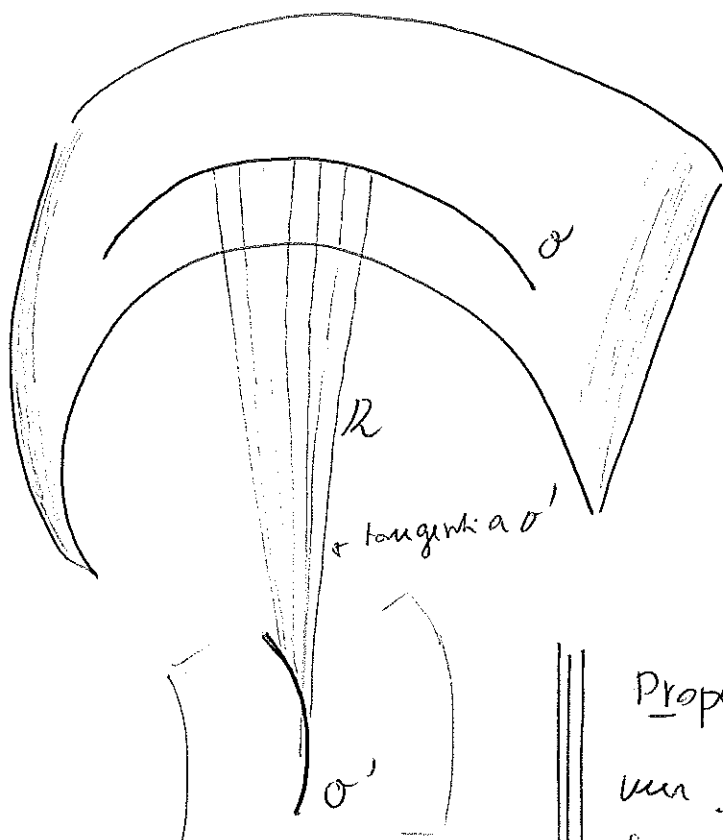


$\Rightarrow$  le coordinate sul p [la superficie è una superficie regolare]

In virtù dell'ambiente di  $p \in f^{-1}(a)$ , si conclude che  $f^{-1}(a)$  è una superficie regolare

## \* Superficie focali

Complementi



$\sigma$ : linea di curvatura

$\sigma'$ : evoluta di  $\sigma$

Proposizione:  $\sigma'$  è una geodetica della superficie focale  $R$  (normale a  $\sigma$ )

Dsu. La rigata  $R$  costituita dalle normali a  $\sigma$  è sviluppabile.  $R$  è isometrica ad una regione piana  $\tilde{R}$  loc. concava. La curva

$\tilde{\sigma}'$  è una geodetica (bordo, lato) di  $\tilde{R}$ )

Pertanto  $\sigma'$  è una geodetica di  $R$  (localmente).

geodetiche sull'ellissoidi binomiale

(Jacobi)

(Cenne)

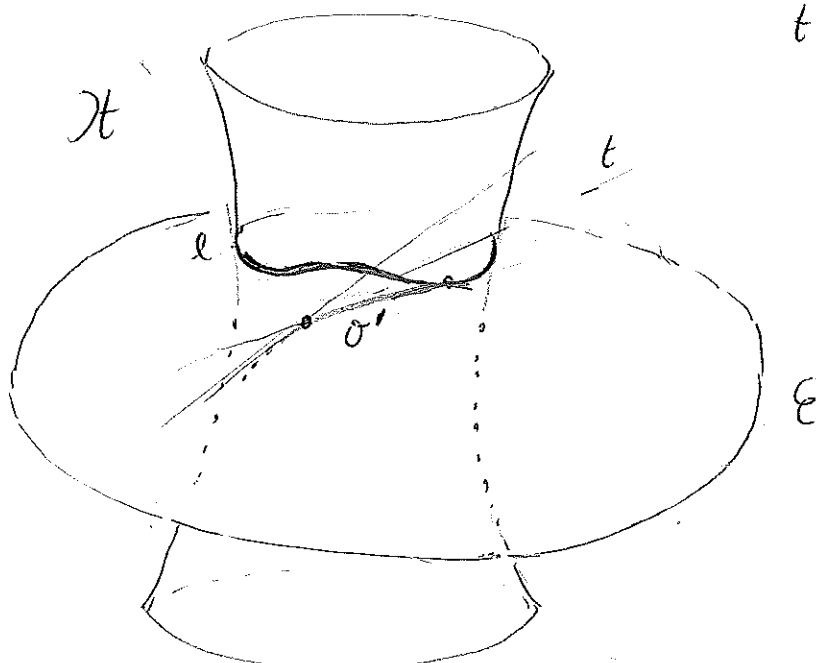
sono parate di  
una sistema  
in plamante  
ortogonale  
(ellissoidi, sp. ad una folla,  
sp. a due folla...)

E H

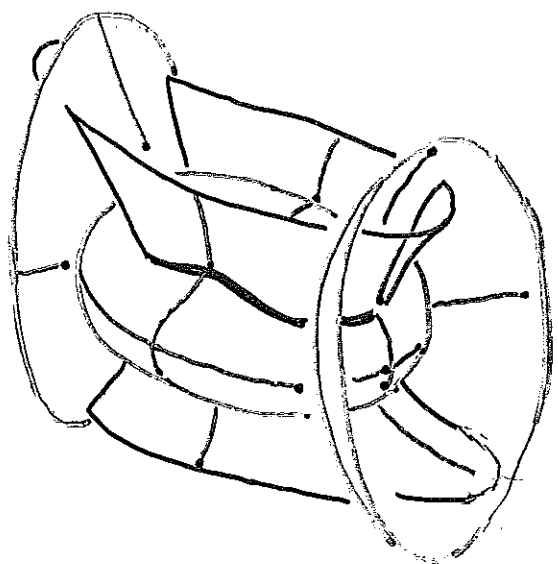
ellissoidi ipersoide  
binomiale ad una  
folla  
confocali

l: linea di curvatura

t: tangente e ad E  
e ad H



H ed E si possono vedere come le due  
folla della superficie focale di una terza superficie  
Le tangenti comuni ad H ed E sono le normali  
a questa superficie. Da quanto visto precedentemente,  
O' è una geodetica (v. pag. precedente).



XII - 42

Altri esercizi

Dimostriamo, per via geometrica, che  
meridiani e paralleli (su una sup. di rotazione)  
sono linee di curvatura

\* Meridiani:

da  $\|\underline{N}\| = 1$   
e dal fatto che

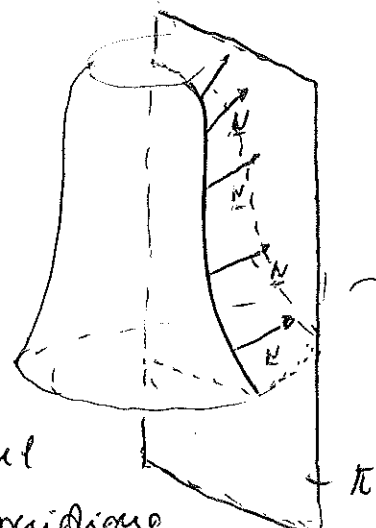
$$\underline{N} \parallel \pi,$$

segue subito che, sul

$$\underline{N}' \parallel \underline{\alpha}'$$

meridiano

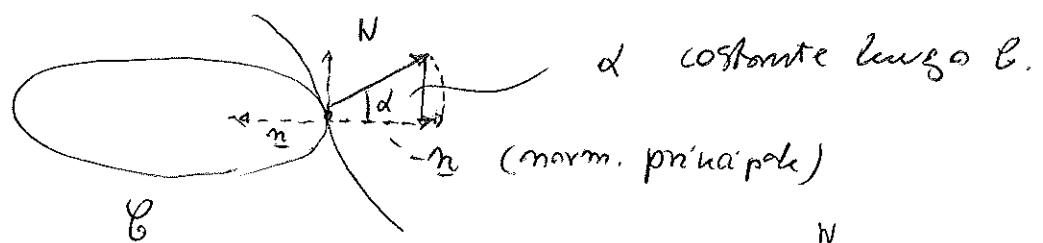
$$\underline{\alpha} = \underline{\alpha}(s)$$



$$\underline{\alpha} = \underline{\alpha}(s)$$

e si conclude in base al teor. di Rodrigues.

\* paralleli



vorremmo che,  
lungo un parallelo  $\beta$ ,  $\underline{N}' \parallel \underline{\beta}'$

$$\underline{\beta} = \underline{\beta}(s)$$

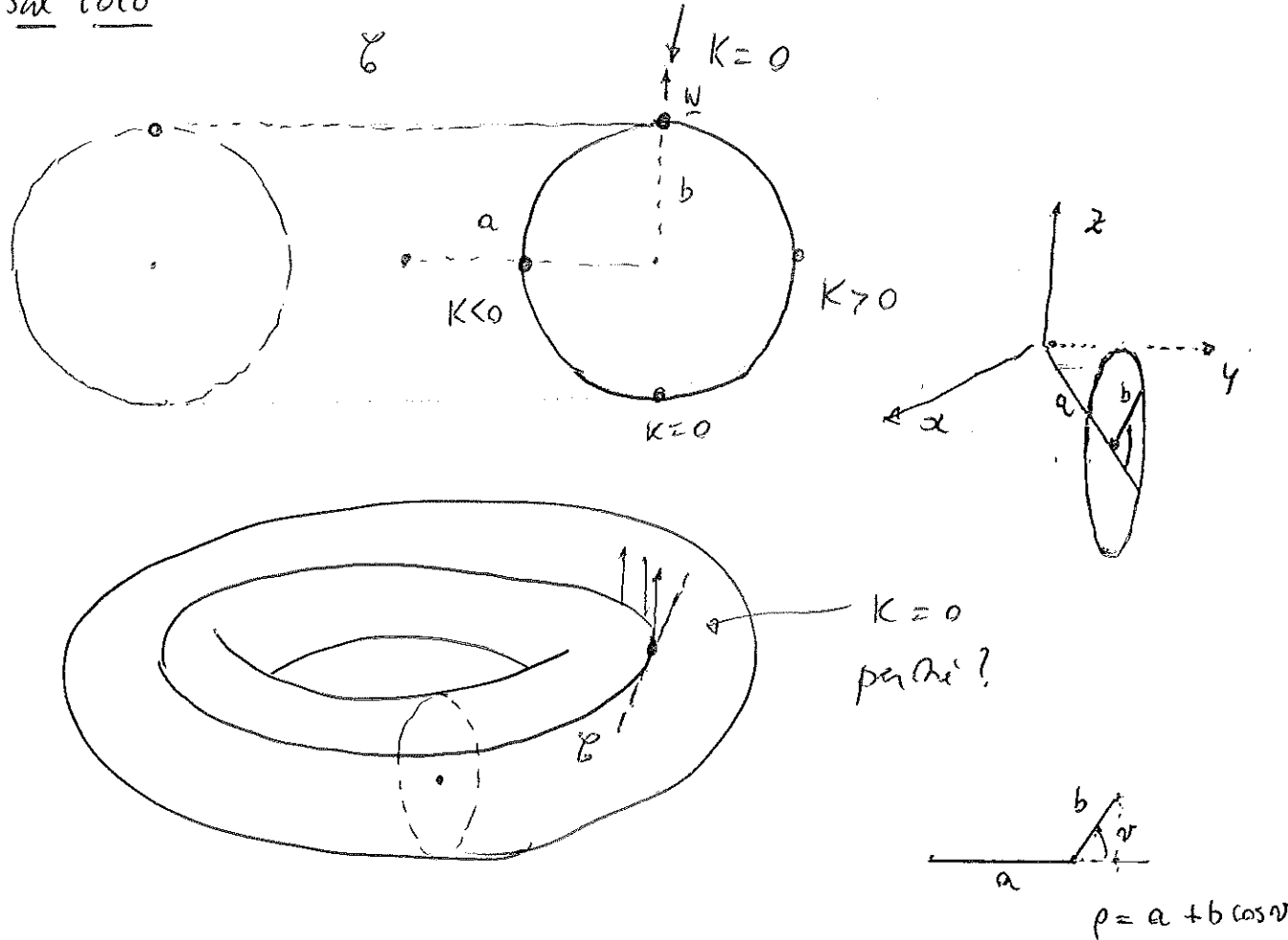
non varia  
lungo  $\beta$

$$(\underline{N} \cos \alpha)' = \int \underline{\beta}'$$

$$\underline{N} \cos \alpha \cos \underline{N}' = \int \underline{\beta}' \Rightarrow \underline{N}' = \gamma \underline{\beta}'$$

e si conclude di nuovo in base a Rodrigues

⇒ sul toro



Se è una linea di curvatura (è un parallelo)

$$\Rightarrow \underline{N}' = \lambda \underline{\alpha}' \quad (\text{Rodrigues})$$

Ma  $T_p$  è non unica per  $P \in \mathcal{C}$  (v. anche fig.)

$\Rightarrow \lambda = 0 \Rightarrow$  una delle curvature principali è nulla

$\Rightarrow K = 0$ . Si noti come  $\det R_n(\mathcal{C}) \equiv 0$

e si conclude anche su base a Meusnier.

Quanto vale l'altra curv. principale?  $R: \frac{1}{b}$  (facile...)

⇒ ⇒ ⇒

parametrizzazione

$$\begin{aligned} \mathbf{r} &= \mathbf{r}(u, v) = \\ &\left( \begin{array}{c} (a+b\cos v)\cos u \\ (a+b\cos v)\sin u \\ b\sin v \end{array} \right) \end{aligned}$$

$u \in [0, 2\pi]$   
 $v \in [0, 2\pi]$

forma esterna:



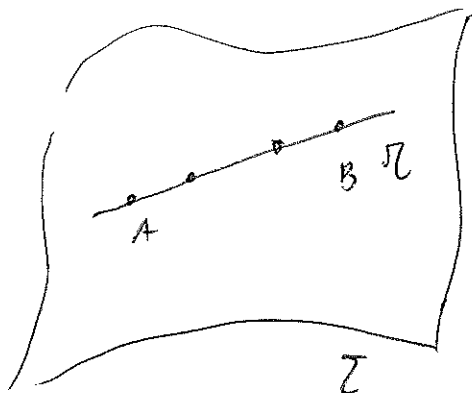
$$(\sqrt{x^2+y^2}-a)^2 + z^2 = b^2$$

$$x^2+y^2 - 2a\sqrt{x^2+y^2} + z^2 = b^2 + a^2 \Rightarrow$$

$$4a^2(x^2+y^2) = (x^2+y^2+z^2+a^2-b^2)^2 \quad \text{XII-64}$$

Se  $\mathcal{T}$  contiene una retta, quest'ultima è una geodetica

Dmo.



$$\text{Se } \underline{r} = \underline{r}_0 + t \underline{a}, \quad \underline{t} \quad \|\underline{a}\| = 1$$

$$\underline{r}' = \underline{a}$$

e  $\underline{r}'$  è parallelo ( $\underline{r}'' = (\underline{r}')' = 0$   
lungo  $\underline{r}$ )  $\Downarrow$  a fortiori

$$\frac{\nabla}{dt} \underline{r}' = 0$$

oppure : la linea più breve tra  $A, B$  su  $\mathcal{T}$ ,  $A \in \mathcal{R}$ ,  $B \in \mathcal{R}$  è, nello spazio, la retta  $\mathcal{R}$ , che giace su  $\mathcal{T}$ , e si conclude.

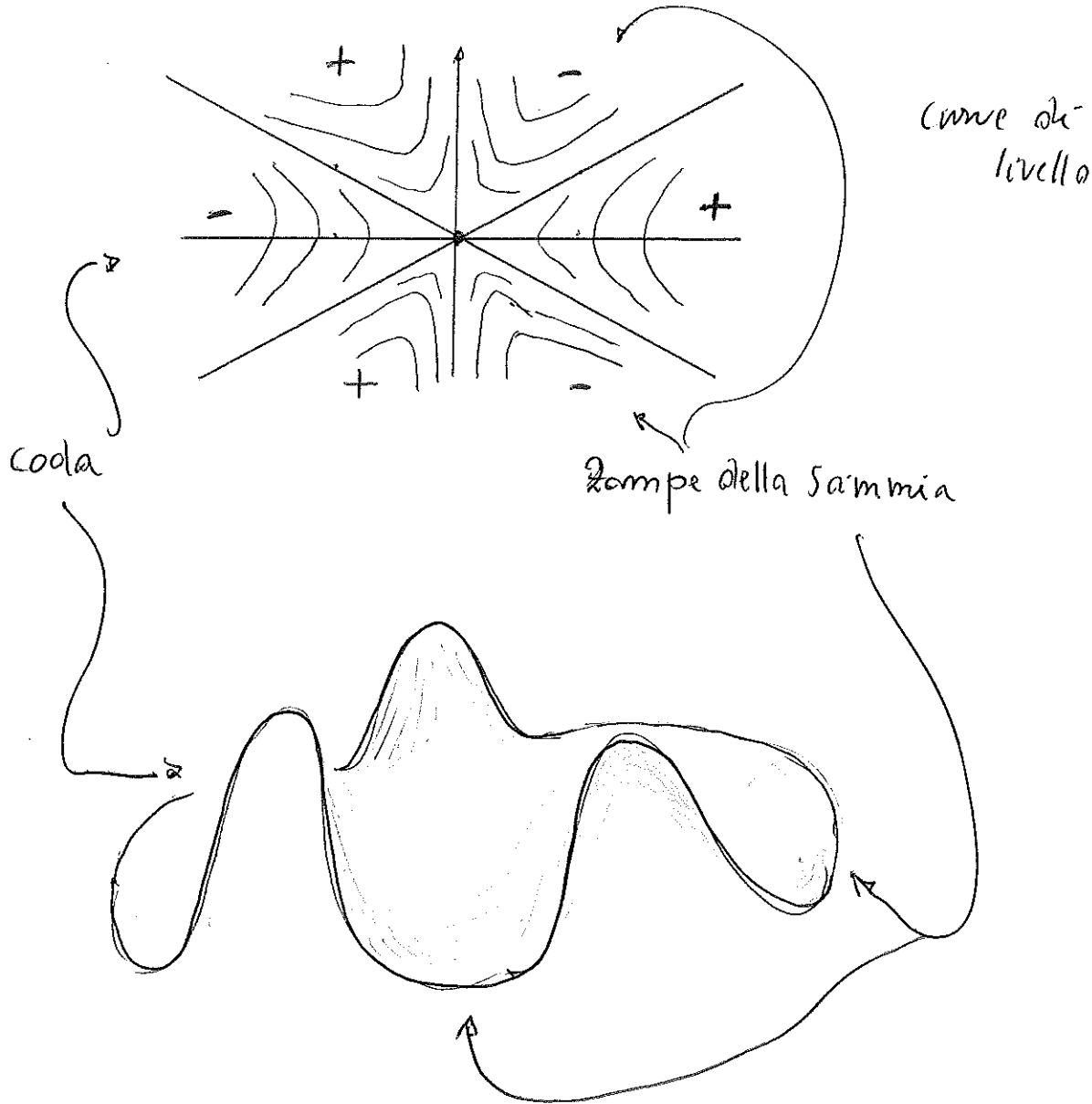
oppure :  $R_g(r) = 0$  (perché già  $R(r) = 0$ ).

◊ La sella di Sammia

$$z = x^3 - 3xy^2 = \operatorname{Re}(\zeta^3) \quad \zeta = x + iy$$

||

$$x(x^2 - 3y^2) = x(x - \sqrt{3}y)(x + \sqrt{3}y)$$



$P: (0, 0, 0)$  pto plano

$$\mathcal{K}_\epsilon(f) = \begin{pmatrix} 0 & 0 \\ 0 & 0 \end{pmatrix} \Rightarrow K = 0 \\ K_1 = K_2 = 0$$

Chiara dalla sviluppo di Taylor